

**PACS: 65.80.+n, 61.80.Hg, 67.80.Gb**

**SİLİŞİUM KARBİD (3C-SiC) NANOKRİSTALLARINA  
NEYTRON SELİNİN TƏSİRİNİN  
DSC SPEKTROSKOPİYASI İLƏ ÖYRƏNİLMƏSİ**

**E.M.HÜSEYNOV<sup>\*\*</sup>, Ü.S.ƏLİYEV<sup>\*\*\*</sup>, M.N.MİRZƏYEV<sup>\*\*</sup>**

*<sup>\*</sup>Milli Nüvə Tədqiqatları Mərkəzi*

*<sup>\*\*</sup>Bakı Dövlət Universiteti*

*<sup>\*\*\*</sup>AMEA-nın Radiasiya Problemləri İnstitutu*

*elchin.h@yahoo.com*

*Nanokristallik silisium karbid (3C-SiC) hissəcikləri TRIGA Mark II tripli tədqiqat nüvə reaktorunda 5 saatda qədər neytron seli ( $2 \times 10^{13} \text{ n/sm}^2\text{san}$ ) ilə şüalanırdılmışdır. Eksperimental tədqiqatlar neytronlarla şüalanmadan əvvəl və sonra DSC (Differential Scanning Calorimetry), TGA (Thermogravimetric Analysis) və DTG (Differential Thermogravimetric Analysis) analizləri aparılmışdır. Nanokristallik 3C-SiC hissəciklərinin oksidləşmə mexanizmi nəzəri və təcrübə olaraq temperaturun  $300K < T < 1300K$  intervalında öyrənilmişdir. Neytron selinin təsiri ilə kütlə və istilik selinin kinetikasında (qızma və soyuma prosesləri) effektlərin fərqli mexanizmlə baş verməsi müəşhidə edilmişdir.*

**Açar sözlər:** nanokristallik 3C-SiC, neytronlarla şüalanma, termik parametrlər

Son zamanlar öz mükəmməl fiziki və kimyəvi xassələrinin kombinasiyası nəticəsində silisium karbid dünya tədqiqatçılarının diqqət mərkəzindədir [1-11]. Silisim karbid geniş qadağan olunmuş zolaq eninə (wide bandgap) malik olduğu üçün (politipdən asılı olaraq 2.4–3.3 eV) elektronikada mükəmməl tətbiq sahəsinə malikdir [12-19]. Eyni zamanda, SiC təbii halda (inherently) yüksək sərtliyə, ərimə temperaturuna (politipdən asılı olaraq 3000K və daha çox) kimyəvi və fiziki davamlılığa malikdir. Yarımkeçirici kimi SiC yüksək temperaturlarda funksional tətbiq sahəsinə malik materialdır [20-24]. Əlavə olaraq, son zamanlar nanoelektronikada yüksək fiziki və kimyəvi davamlılığa malik nano 3C-SiC, 4H-SiC və 6H-SiC politipləri geniş araşdırılır [25-29]. Yarımkeçirici kimi, nano ölçülərdə silisium karbidin tətbiqi zamanı onun p və ya n tip aşşarlanması müasir zamanda aktual məsələdir.

Neytron seli ilə şüalanma zamanı nanomaterialın elektrik, dielektrik və digər fiziki xassələrində keskin dəyişikliklər yaradır [30-37]. Şüalanma zamanı materialın elektrik xassələrində baş verən dəyişikliklərə yanaşı termik xassə-

lərində mümkün dəyişikliyi öyrənmək məqsədilə nümunələrin DTG, DSC və TGA analizləri aparılmışdır. Nanomateriallarda xüsusi səth sahəsinin (Specific Surface Area - SSA) böyük olması səhədə istilik daşınmasında, fiziki proseslərdə və xüsusən də termofiziki proseslərdə kəskin fərqli yaranmasına səbəb olur. Nano ölçülərdə 3C-SiC hissəciklərinin DTG, DSC və TGA spektrlərində temperatur və neytron selinin təsiri ilə mümkün dəyişikliklər araşdırılmışdır. Nanokristallik 3C-SiC hissəciklərinin termik parametrləri  $300\text{K} < T < 1300\text{K}$  temperatur intervalında neytronlarla şüalanmadan önce və sonra müqaişəli təhlil edilmişdir.

### Təcrübə

Təcrübədə istifadə olunan nanomaterial  $120 \text{ m}^2/\text{q}$  xüsusi səth sahəsinə,  $18\text{nm}$  ölçülü hissəciklərə və  $0.03\text{q}/\text{sm}^3$  (həqiqi sıxlıq  $3.216 \text{ q}/\text{sm}^3$ ) sıxlığa malik kubik modifikasiyalı silisium karbid nanohissəcikləridir (US Research Nanomaterials, Inc., TX, USA). Təcrübələr zamanı istifadə olunan nümunələr Sloveniyadan Lyublyana şəhərində Jozef Stefan İnstitutunun "Reaktor Mərkəzində" TRIGA Mark II yüngül su (light water pool type reactor) tipli tədqiqat reaktorunda mərkəzi (kanal A1) kanalda  $2 \times 10^{13} \text{ n}/\text{sm}^2$  san sel sıxlığına malik neytron seli ilə tam güc rejimdə ( $250\text{kVt}$ ) şüalandırılmışdır. Mərkəzi kanalda tam güc rejimdə mövcud neytron selinin parametrləri termal neytronlar üçün  $5.107 \times 10^{12} \text{ n}/\text{sm}^2$  san ( $1 \pm 0.0008$ ,  $E_n < 625\text{eV}$ ), epitermal neytronlar üçün  $6.502 \times 10^{12} \text{ n}/\text{sm}^2$  san ( $1 \pm 0.0008$ ,  $E_n \sim 625\text{eV} + 0.1\text{MeV}$ ), sürətli neytronlar üçün  $7.585 \times 10^{12} \text{ n}/\text{sm}^2$  san ( $1 \pm 0.0007$ ,  $E_n > 0.1 \text{ MeV}$ ) və nəhayət, bütün neytronlar üçün mərkəzi kanalda sel sıxlığı  $1.920 \times 10^{13} \text{ n}/\text{sm}^2$  san ( $1 \pm 0.0005$ ) kimidir [38-45]. Beləliklə, mərkəzi kanalda neytronların orta enerjisi təqribən epitermal neytronların enerjisində ( $E_n \sim 625\text{eV} + 0.1\text{MeV}$ ) uyğun gəlir.

Nanokristallik 3C-SiC hissəciklərinin termik parametrləri "Perkin Elmer" STA 6000 cihazında tədqiq edilmişdir. "Perkin Elmer" STA 6000 cihazında işçi oblast  $16\text{-}1000^\circ\text{C}$ , termik işləmə sürəti qızma prosesində  $5^\circ\text{C}/\text{dəq}$  və soyuma prosesində  $20^\circ\text{C}/\text{dəq}$ , PolyScience analizatoru və "digital temperature controller" soyuducu sistemidir. "Pyris Manger" program təminatından istifadə olunaraq kinetik parametrlər təyin olunmuşdur. Yanma məhsullarının sistemdən xaric edilməsi və kondensasiya prosesinin qarşısının alınması məqsədilə arqon təsirsiz qazından istifadə edilmiş və sistəmə  $20 \text{ ml}/\text{dəq}$  sürətlə verilir. Standart  $177,78 \text{ mg}$  alüminium-oksid əsaslı pəndən istifadə olunmuşdur. Termocüt üzərində yerləşdirilmiş elektron qeydedici vasitəsilə nümunənin kütləsi  $10^{-3} \text{ mq}$  dəqiqliyi ilə təyin olunur və avtomatik rejimda qeyd olunur. Program təminati avtomatlaşdırılmış qaydada nümunə ilə dolu pənin kütləsi ilə boş pənin kütlə fərqli təyin edir. Təyin olunmuş kütlə program təminatında yaddaşa saxlanılır. Termik spektrlərdə yaranan endo və ekzotermik effektlərin parametrləri "Calculation" menyusundan istifadə olunmaqla hesablanılır. Təcrübələrdə alınmış və sonradan hesablanmış qiymətlərə uyğun alınan bütün

nəticələr "OriginPro 9.0" programında qrafik olaraq təsvir edilmişdir.

### Nəzəri yanaşmalar

Məlumdur ki, nano ölçülü materiallarda xüsusi səth sahəsi kristal və mikro şəkildə tədqiq olunan materiallarla müqayisədə dəfələrlə böyükdür (təcrübələr aparılan nanokristallik 3C-SiC üçün xüsusi səthin sahəsi  $120 \text{ m}^2/\text{q}$ ). İstilik selinin nanomateriallarda axını digər materiallarla müqayisədə (səth sahəsinin böyük olması səbəbindən) fərqli mexanizmlə baş verir. Nano materiallarda səth sahəsinin istik seli axını prosesində iştirak mexanizmi aşağıdakı kimi xarakterizə olunur [46]:

$$Q = S\alpha(T_2 - T_1) \quad (1)$$

Burada  $T_1$  və  $T_2$  uyğun olaraq prosesin başlangıç və son temperaturu,  $S$  materialın səthinin sahəsi,  $\alpha$  isə səthdə istilik axınının əmsalıdır. Diferensial şəkildə səthdə istilik axını əmsali aşağıdakı kimi təyin olunur.

$$\alpha = -\frac{\lambda}{(T_2 - T_1)} \frac{\partial T}{\partial n} \quad (2)$$

Son bərabərliklərdən diferensial şəkildə aşağıdakı bərabərlikləri alırıq:

$$\begin{aligned} dQ &= -\lambda \frac{\partial T}{\partial n} dS \\ dQ &= \alpha(T_2 - T_1) dS \end{aligned} \quad (3)$$

Adətən  $\alpha$  əmsali materialın tipindən asılı olaraq Nusselt (Nu), Prandl (Pr), Reynolds (Re) və Grashof (Gr) kimi bir neçə kriteriya ədədləri ilə təyin olunur [46-48].

$$(Nu) = \frac{al}{\lambda}, \quad (Pr) = \frac{v}{a}, \quad (Re) = \frac{wl}{v}, \quad (Gr) = \frac{g\beta l^3(T_1 - T_0)}{v} \quad (4)$$

burada,  $\lambda$  - termik keçiricilik,  $a$  - termal diffuziya əmaslı,  $v$  - kinematik özüllük,  $l$  - xarakterik ölçülər,  $w$  - xarakterik sürət,  $g$  - qravitasiya sahəsində sürətlənmə,  $(T_1 - T_0)$  - temperatur fərqi və  $\beta$  termal genişlənmə əmsalıdır. Nəzərə alınmayan istilik miqdarı  $Q_r$ , temperatur  $T_s$  qiymətinə uyğun  $A_s$  səth sahəsi və temperaturun  $T_0$  qiymətinə uyğun  $A_0$  səth sahəsi olarsa ümumi şəkildə istilik miqdarı aşağıdakı kimi ifadə oluna bilər.

$$Q_r = A_s \epsilon_m \sigma (T_s^4 - T_0^4) \quad (5)$$

burada,  $\epsilon_m$  - səth emissiyasından asılı olaraq emissiya əmsalı və  $\sigma$  - şüalanma sabitidir ( $\sigma = 5.77 \cdot 10^{-8} \text{ W m}^{-2} \text{ K}^{-4}$ ). Ümumi halda vahid sətdə olan yekun enerji aşağıdakı kimidir.

$$q_r = \frac{Q_r}{A_s} \quad (6)$$

Son iki bərabərlikdən, aşağıdakı ifadəni almaq olar:

$$q_r = \varepsilon_m \sigma (T_s^4 - T_0^4) \quad (7)$$

Yaxud (2) bərabərliyinə anoloji olaraq:

$$q_r = \alpha_r (T_s - T_0) \quad (8)$$

burada

$$\alpha_r = \varepsilon_m \sigma \frac{T_s^4 - T_0^4}{T_s - T_0} = \varepsilon_m \sigma (T_s + T_0)(T_s^2 - T_0^2) \quad (9)$$

Son bərabərlik şüalanma zamanı istilik daşınması kofisentini xarakterizə edir [46-47]. Seçilmiş temperatur aralığı üçün  $\Delta T = T_s - T_0$  olduğunu nəzərə alsaq, aşağıdakı ifadəni almış olarıq:

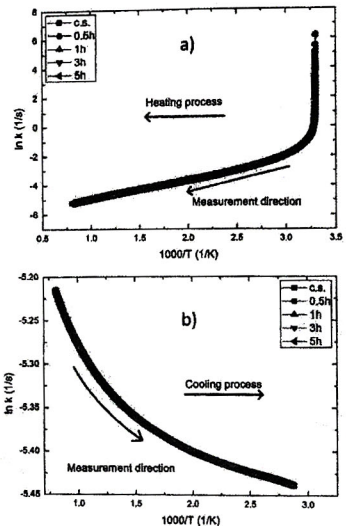
$$\alpha_r = 4\varepsilon_m \sigma T_0^3 \left( 1 + \frac{3}{2} \frac{\Delta T}{T_0} \right) \quad (10)$$

Xüsusi halda  $\frac{\Delta T}{T_0}$  nisbəti çox kiçik olarsa və bunu nəzərə almasaq

$\alpha_r = 4\varepsilon_m \sigma T_0^3$  bərabərliyini alarıq. Adətən istilikləçən cihazlar istilik axını kofisentini, konveksiyanın istilik axını, ötürülən və şualanan istilikləri ölçür. Kalorimetriyada G kofisientindən daha çox istifadə olunur ki, bu da istilik itkisi kofisenti adlanır. Bu isə birbaşa nümunənin bütün səthindən ötürülən istilik ilə mütlənasib olaraq qiymətləndirilir.

### Nəticə və müzakirələr

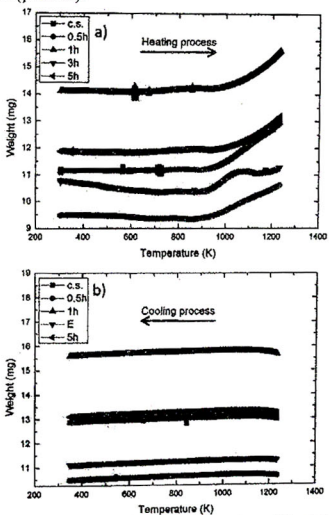
Nanokristallik 3C-SiC hissəciklərinin neytron seli ilə şüalanmadan əvvəl və sonra aktivləşmə enerjisini Arrhenius yanaşması ilə qiymətləndirmək üçün  $\ln k - 1000/T$  asılıqları şəkil 1-də verilmişdir. Qeyd edək ki, Arrhenius yanaşmasına əsasən qurulmuş  $\ln k - 1000/T$  asılıqlarında əyrilərin xətti hissəsinin  $1000/T$  xətti ilə əmələ gətirdiyi bucağın tangensini birbaşa aktivləşmə enerjisini ifadə edir. Nanokristallik 3C-SiC hissəciklərinin aktivləşmə enerjisi həm qızma, həm də soyuma proseslərində ayrı ayrılıqda nəzərdən keçirilmişdir. Şəkildən göründüyü kimi qızma prosesində aktivləşmə enerjisi əsasən bir real qiymətə malikdir (şəkil 1a). Temperaturun kiçik qiymətlərində ( $1000/T > 3.1$ ) müsahidə olunan kənarəçixmalar, hesab olunur ki, nanomaterial daxilində adsorbsiya olunan olan əlavə su və ya digər qatışqlarla əlaqəlidir. Eyni zamanda xətti azalan hissənin aktivləşmə enerjisinin kiçik olması adsorbsiya olunmuş su molekullarının xemosorbsiya olunduğunu bir daha göstərir. Bu isə öz təstiğini soyuma prosesinin  $\ln k - 1000/T$  asılıqlarında tapır (şəkil 1b). Belə ki, soyuma zamanı ümumi yanaşmada aktivləşmə prosesini bir qiymətlə izah etmək mümkünündür. Digər tərəfdən, şəkildən göründüyü kimi neytron seli ilə şüalanma nanokristallik 3C-SiC hissəciklərinin aktivləşmə enerjisini, demək olar ki, təsir etmir.



Şek. 1. Nanokristallik 3C-SiC hissəciklərinin neytron seli ilə şüalanmadan öncə (c.s.) və (0.5h, 1h, 3h, 5h) sonra  $\ln k - 1000/T$  asılılıqları (a – qızma prosesi, b – soyuma prosesi).

Nanokristallik 3C-SiC hissəciklərinin neytron seli ilə şüalanmadan əvvəl və sonra kütləsinin temperaturundan asılı olaraq dəyişmə asılılıqları şəkil 2-də təsvir edilmişdir. İlk önce qeyd etmək lazımdır ki, aparılan eksperimentlərdən alınan nəticələr başlanğıc kütlənin ədədi qiymətindən asılı deyil və başlanğıc kütlənin fərqli olması tam texniki xarakterlidir ki, bu da heç bir fiziki məna kəsb etmir. Şəkildən göründüyü kimi, qızma və soyuma proseslərində kütlənin dəyişmə kinetikasında fərq mövcuddur (şəkil 2a və 2b). Qızma prosesində, temperaturun təqribən  $300K < T < 1000K$  intervalında heç bir dəyişiklik müşahidə olunmur (şəkil 2a). Lakin temperaturun  $1000K < T < 1300K$  intervalında, temperaturun artması ilə ümumi yanaşmada kütlədə çox az miqdarda artma müşahidə olunur. Mövcud kütlə artımının səbəbi oksidləşmə ola bilər, lakin bunu təstiqləmək üçün daha çox analitik tədqiqatlara ehtiyac vardır. "Pyris Manger" program təminatının köməyiylə, neytron selinin təsi-

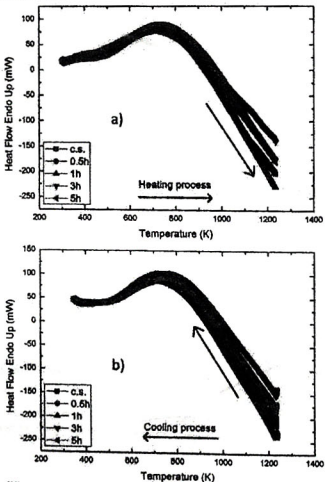
rindən öncə və sonra oksidləşmə dərəcəsinin temperatur asılılığı çıxarılmışdır. Məlum olmuşdur ki, şüalanmadan əvvəl və sonra nanomaterialda temperaturun 1270 K qiymətinə qədər oksidləşmə çox az miqdarda mövcuddur. Temperaturun təqribən 1000K qiymətinə qədər oksidləşmə, demək olar ki, tam yoxdur. Lakin temperaturun 1000K-dən böyük qiymətlərində çox cüzi oksidləşmə müşahidə olunur, bu da göstərilən intervalda kütlənin artmasına səbəb olur. Neytron selinin təsiri ilə nonakristallik SiC birləşməsində yaranan aktiv mərkəzlər yüksək temperaturlarda O<sub>2</sub> atomunun daxil olması və soyuma prosesində kütlədə heç bir dəyişikliyin olmaması və artmış kütlənin saxlanılması, bir daha qızma prosesində mövcud olan artımın oksidləşmə ilə əlaqəli ola bilməsini təsdiqləyir (şəkil 2b).



Şək. 2. Nanokristallik 3C-SiC hissəciklərinin hissəciklərinin neytron seli ilə şüalanmadan öncə (c.s.) və (0.5h, 1h, 3h, 5h) sonra kütləsinin temperaturundan asılı olaraq dəyişməsi (a – qızma prosesi, b – soyuma prosesi).

Fərqli mündəttılərdə neytron selinin təsirinə məruz qalmış nanokristallik 3C-SiC hissəciklərinin istilik selinin temperaturdan asılılıq (DSC) spektri şəkil

3-də verilmişdir. Ümumi yanaşmada istilik axımının temperatur asılılığında neytronlarla şüalanmadan asılılıq çox azdır və xaotiklik müşahidə olunur. Şəkillərdən göründüyü kimi, neytronlarla şüalanmadan əvvəl və sonra nanokristallik 3C-SiC hissəciklərində baş verən termik prosesləri əsasən bir hissə ilə izah etmək olar. Digər kiçik kənaraçixma, atmosferdən adsorbsiya olunan suyun və ya digər aşqar elementlərin sistemdən çıxması kimi qiymətləndirilə bilər. Belə ki, bu mərhələ temperaturun təqribən 400K qiymətində yekuləşir (şəkil 3a). Əsas mərhələ isə temperaturun təqribən 800K qiymətinə qədər davam edir. Nanomateriallar çox böyük xüsusi səth sahəsinə (Specific Surface Area - SSA) malik və səthi aktiv olduğu üçün, ilkin yanaşmada ehtimal olunur ki, bu mərhələdə atmosferlə temasdan səthdən asılı hala düşən su və ya digər birləşmələr nanohissəciyi tərk edir. Bu proses təqribən temperaturun 800K qiymətinə qədər davam edir.



Şək. 3. Nanokristallik 3C-SiC hissəciklərinin neytron seli ilə şüalanmadan öncə (c.s.) və (0.5h, 1h, 3h, 5h) sonra istilik selinin temperatur asılılıqları (a – qızma prosesi, b – soyuma prosesi).

Temperaturun  $800 < T < 1300\text{K}$  intervalında sistemə verilən enerji sadəcə nümunənin qızmasına sərf olunur və digər efektlər müşahidə olunmur. Lakin soyuma prosesində də anoloji halın müşahidə olunması 800K temperaturda

sistemdən asılı maddələrin sistemi tərk etməsi fərziyyəsinə müəyyən mənada ziddiyət yaranır (şəkil 3b). Belə olan hal, adətən Debay temperaturu ilə az və ya çox dərəcədə izah olunur. Lakin baxılan haldan fərqli olaraq, ədəbiyyatlarda silisium karbid üçün Debay temperaturu 1270K-dir [49-51]. Soyuma proseslərində mövcud pik, ola bilsin ki, ətrafdan sistemə yenidən daxil olan aşqar materiallarla əlaqəlidir.

### Nəticələr

Neytronlarla şüalanmadan öncə və sonra aparılan müqaisəli analizlərdən məlum olmuşdur ki, ionlaşdırıcı şüalanmanın təsiri altında temperaturun təqribən 1300K qiymətinə qədər nanokristallik 3C-SiC hissəcikləri çox davamlı fiziki xassəyə malikdir. Şüalanmadan öncə və sonra temperaturun təqribən  $300\text{K} < T < 800\text{K}$  intervalında DSC əyrilərində bəzi effektlər müşahidə edilmişdir. Neytron selinin nanokristallik 3C-SiC hissəciklərinin aktivləşmə enerjisini təsir etmədiyi aşkar olunmuşdur (aktivləşmə enerjisi tipik qiymətə yaxın 120kJ/mol alınmışdır). TGA və DTG analizlərindən məlum olmuşdur ki,  $300\text{K} < T < 800\text{K}$  temperatur intrervalında, demək olar ki, oksidləşmə dərəcəsi sıfıra yaxındır. Baxmayaraq ki, temperaturun təqribən  $800\text{K} < T < 1300\text{K}$  intervalında nanomaterialda az miqdarda oksidləşmə müşahidə edilmişdir.

### ƏDƏBİYYAT

1. Singh G., Koyanagi T., Petrie C., Terrani K., Katoh Y. Evaluating the Irradiation Effects on the Elastic Properties of Miniature Monolithic SiC Tubular Specimens // Journal of Nuclear Materials 499, 107-110, 2018
2. Yigang Chen, Fang Wang, Yingjie Jia, Nan Yang, Xianming Zhang "One-Step Ethanolysis of Lignin into Small-Molecular Aromatic Hydrocarbons over nano-SiC Catalyst" Bioresource Technology 226, 145-149, 2017
3. Andrey A.Stepashkin, Dilyus I.Chukov, Sergey D.Kaloshkin, Ivan S.Pyatov, Magomed Ya.Deniev "Carbonized Elastomer based Composites Filled with Carbon Fillers and Silicon Carbide" Materials Letters 215, 288-291, 2018
4. Ekaterina Novitskaya, Hesham E.Khalifa, Olivia A.Graeve "Microhardness and Microstructure Correlations in SiC/SiC Composites" Materials Letters 213, 286-289, 2018
5. Abdul Majid "A Perspective on non-Stoichiometry in Silicon Carbide" Ceramics International 44, 2, 1277-1283, 2018
6. Felix Cancino-Trejo, Eddie Lopez-Honorato, Ross C.Walker, Romelia Salomon Ferrer "Grain-Boundary Type and Distribution in Silicon Carbide Coatings and Wafers" Journal of Nuclear Materials 500, 176-183, 2018
7. A.Nawaz, W.G.Mao, C.Lu, Y.G.Shen "Nano-Scale Elastic-Plastic Properties and Indentation-Induced Deformation of Single Crystal 4H-SiC" Journal of the Mechanical Behavior of Biomedical Materials 66, 172-180, 2017
8. Gaurav Bajpai, Rajesh Purohit, R.S.Rana, Saurabh Singh Rajpurohit, Ajeet Rana "Investigation and Testing of Mechanical Properties of Al-Nano SiC Composites through Cold Isostatic Compaction Process" Materials Today: Proceedings 4,2,A, 2723-2732, 2017
9. Kaijie Ning, Kathy Lu, Kaustubh Bawane, Zhihao Hu "Spark Plasma Sintering of Silicon Carbide (SiC)-Nanostructured Ferritic Alloy (NFA) Composites with Carbon Barrier Layer" Journal of Nuclear Materials 498, 50-59, 2018
10. Lukasz Rogal, Damian Kalita, Anna Tarasek, Piotr Bobrowski, Frank Czerwinski "Effect